

مقایسه مقادیر نفوذپذیری و نشست پذیری خاکهای رسی متراکم شده با دو روش تراکم استاتیکی و دینامیکی

حسن رحیمی و رسول قبادیان

استاد و دانشجوی سابق کارشناسی ارشد گروه آبیاری و آبادانی دانشکده کشاورزی دانشگاه تهران.

تاریخ پذیرش ۷۸/۲/۱

خلاصه

به منظور ارزیابی صحیح پارامترهای مکانیکی خاک برای اهداف طراحی لازم است این متغیرها در آزمایشگاه با استفاده از نمونه‌های بازسازی شده با روش تراکمی که شباهت بیشتری با تراکم صحرایی دارد، تعیین شوند. عموماً در آزمایشگاه‌ها براساس استانداردهای موجود، نمونه‌های مورد آزمایش توسط روش تراکم دینامیکی (کوییدن خاک در چند لایه در داخل قالب استاندارد و با کمک ضربات چکش) تهیه می‌شوند، در حالیکه تراکم در صحراء توسط غلتکهای چرخ فلزی صاف و یا غلتکهای پاچه بزی که شباهت بیشتری به تراکم استاتیکی دارند، انجام می‌شود. در این تحقیق به منظور مقایسه اثر هر یک از این دو روش تراکم بر مقادیر نفوذپذیری و نشست پذیری خاکهای ریزدانه، سه نوع خاک با بافت‌های رسی سیلتی (CL-ML)، رسی با خمیرانی کم (CL) و رسی با خمیرانی زیاد (CH) تهیه گردید و سپس نمونه‌هادر تراکم‌های نسبی مختلف و رطوبتهای مختلف با دو روش تراکم استاتیکی و دینامیکی بازسازی و آزمایش‌های نفوذپذیری و تحکیم بر روی کلیه نمونه‌ها انجام گرفت. نتایج آزمایش‌های نفوذپذیری نشان داد که نمونه‌های بازسازی شده به روش تراکم استاتیکی نسبت به نمونه‌های بازسازی شده به روش تراکم دینامیکی نفوذپذیری بیشتری را نشان می‌دهند. همچنین با افزایش درصد رطوبت و تراکم نسبی نمونه‌های بازسازی شده مقدار نفوذپذیری کاهش می‌یابد. نتایج آزمایش‌های تحکیم نشان داد که با افزایش حد روانی خاک ضربه تحکیم (CV) کاهش و نمایه فشردنگی (CC) افزایش می‌یابد. علاوه بر این نمونه‌های بازسازی شده به روش تراکم استاتیکی نسبت به نمونه‌های بازسازی شده به روش تراکم دینامیکی، ضربه تحکیم و نمایه فشردنگی بیشتری را نشان می‌دهند. همچنین از این سری آزمایشها نتیجه شد که صرفنظر از خصوصیات فیزیکی خاک، با افزایش درصد رطوبت و تراکم نسبی نمونه‌ها، مقادیر CC و CV کاهش می‌یابند.

واژه‌های کلیدی: تراکم استاتیکی، تراکم دینامیکی، نشست پذیری، نفوذ پذیری

ورقهای هر ذره آب بدون تبادل اندازه حرکت با ذره دیگر در طول مسیر معنی حرکت می‌کند. در حالیکه در جریان آشفته مسیر حرکت ذره نامنظم است. دریشتر مسائل عملی مربوط به مکانیک خاک جریان آب در میان منافذ خاک ورقهای فرض می‌شود (۱۳). مطالعات جریان آب، در محیط متخلخل خاک، در مکانیک خاک و دارای کاربردهای متعددی می‌باشد (۱۳ و ۳).

خاکهای مجموعه‌ای از ذرات جامد نایپوسته می‌باشند. که در بین آنها منافذ وجود دارد، بگونه‌ای که آب می‌تواند از نقطه‌ای با انرژی بیشتر به سوی نقطه‌ای با انرژی کمتر حرکت کند، این خاصیت عبور آب از میان خلل و فرج ممتد آبگذاری نامیده می‌شود (۱۳). جریان آب از میان خلل و فرج ممکن است ورقهای یا آشفته باشد. در جریان

مطالعات هادر (Hader, 1964) و هیلف (Hilf, 1975) در مورد تراکم پذیری نمونه‌های رسی متراکم شده، که با استفاده از دستگاه تحکیم معمولی انجام شده، نشان داد که تحکیم پذیری نه تنها به تراکم نسبی نمونه بلکه به رطوبت اولیه نمونه نیز بستگی دارد.^(۸) مقایسه درجه تحکیم پذیری خاکهای چسبنده متراکم شده با انرژی تراکمی یکسان موارد زیر را نشان داده است^(۸):

الف - نمونه‌های متراکم شده با رطوبت کمتر از بهینه از نمونه‌های متراکم شده با رطوبت بیشتر از بهینه اگر اشباع نشوند، نشت کمتری دارند.

ب - اگر نمونه‌های خاک پس از بارگذاری اشباع شوند، نشت اضافی اتفاق می‌افتد. این نشت ناشی از رمبندگی، در نمونه‌های متراکم شده در رطوبت کمتر از بهینه، بیشتر است.

ج - نشت کلی که برابر مجموع نشت ناشی از رمبندگی و تراکم پذیری نمونه است، در حوالی رطوبت بهینه حداقل مقدار را دارد.

مطالعات اینگلز و بیلیامز روی نمونه‌هایی از خاکهای رسی سیلتی و ماسه سیلتی متراکم شده در ناحیه خشک رطوبت بهینه نشان داد که نشت اشباع این نمونه‌ها کمتر از ۱ تا ۳ درصد است و با افزایش درصد رطوبت اولیه نمونه این نشت به سرعت کاهش می‌یابد.^(۴) لمب خصوصیات تراکم پذیری و نشت یک بعدی خاکهای رسی که در سمت خشک و تر رطوبت بهینه متراکم شده‌اند، را مورد مطالعه قرار داد. نتایج مطالعات وی نشان داده است که در فشار کم، نمونه‌هایی که در سمت تر رطوبت بهینه متراکم شده‌اند، از آنهایی که در سمت خشک متراکم شده‌اند، تراکم پذیرتر هستند. در فشارهای زیاد روند پدیده کاملاً بر عکس است.^(۶)

مواد و روشها

به منظور برآورد اثر روش تراکم بر مقدار نفوذپذیری و نشت پذیری خاکهای رسی متراکم شده، سه نوع خاک با بافت‌های رسی - سیلتی (CL-ML)، رسی با خمیرائی کم (CL) و رسی با خمیرائی زیاد (CH) به ترتیب از منطقه مهر و بلای کرج، کمال آباد کرج و مزرعه مرکز تحقیقات دشت مغان تهیه شد. پس بر روی هر یک از نمونه‌ها آزمایش‌های شناسایی به منظور تعیین جرم مخصوص

نفوذپذیری خاکهای رسی متراکم شده از چندین عامل تاثیر می‌پذیرد که عبارتند از: محتوی رطوبتی نمونه (۱۵-۱۶)، درجه اشباع (۱۰، ۱۲، ۱۵)، روش تراکم (۱۰)، انرژی تراکمی (۱۰)، در شب هیدرولیکی (۱۱)، اندازه کلوخه‌های رسی (۲)، توزیع اندازه خلل و فرج (۱۲)، خصوصیات شیمیایی سیال عبوری (۹)، سن نمونه‌های سورد آزمایش (۱۰)، نسبت تخلخل (۹)، نوع دستگاه نفوذ سنج، جهت جریان و اندازه نمونه‌های مورد آزمایش (۲).

مطالعات لمب در مورد نفوذپذیری خاک رس ماسه‌ای جاییکا نشان داد که در یک انرژی تراکمی ثابت با افزایش درصد رطوبت نمونه مقدار نفوذپذیری کاهش یافته و در نزدیکی رطوبت بهینه به کمترین مقدار خود می‌رسد. علاوه در یک درصد رطوبت ثابت با افزایش تراکم نسبی نمونه‌های بازسازی شده بخطاطر کاهش نسبت تخلخل، مقدار نفوذپذیری کاهش می‌یابد.^(۷)

مطالعات بویتن و دانیل در مورد نفوذپذیری خاک رس متراکم شده نشان داد که صرفنظر از جهت جریان عبوری از نمونه با افزایش درصد رطوبت، مقدار نفوذپذیری کاهش می‌یابد.^(۲)

تحقیقات انجام شده توسط بیشل و همکاران نشان داد که مقدار نفوذپذیری نمونه‌های بازسازی شده به روش تراکم استاتیکی نسبت به نمونه‌های تهیه شده با روش تراکم ارتعاشی و نمونه‌های اخیر نیز نسبت به نمونه‌های بازسازی شده با روش تراکم از نوع خمیر کردن بیشتر بوده و این افزایش در ناحیه تر رطوبت بهینه بیشتر قبل ملاحظه است.^(۱۰)

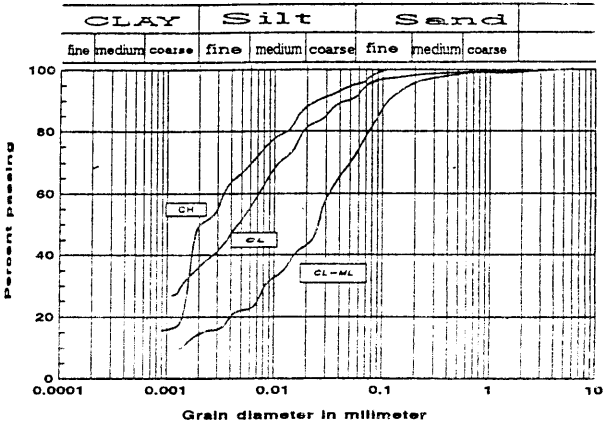
و قیکه توده خاک اشباع یا تقریباً اشباع تحت تاثیر باری قرار می‌گیرد، تغییر شکل خمیری ناشی از کاهش نسبت تخلخل در این توده اتفاق می‌افتد که این تغییر شکل وابسته به زمان است.^(۱۱) نظریه تحکیم یک بعدی در شرایط اشباع اولین بار در سال ۱۹۲۵ توسط تورستسون (Torstenson, 1977)، چان (Chan, 1986) و هانسی و تن (Houlsby and Ten, 1986) ارائه شده است که رابطه بین فاکتور زمان و درصد تحکیم را برای آزمایش‌های در محل نشان داده‌اند.^(۵) پس از ارائه مدل تحکیم یک بعدی توسط ترزاقی، مدل‌های دیگری نیز توسط ترزاقی ارائه شد. علاوه بر مدل ترزاقی، مدل‌های دیگری نیز توسط تورستسون (Torstenson, 1977)، چان (Chan, 1986) و هانسی و تن (Houlsby and Ten, 1986) ارائه شده است که رابطه بین فاکتور زمان و درصد تحکیم را برای آزمایش‌های در محل نشان داده‌اند.^(۵) پس از ارائه مدل تحکیم یک بعدی توسط ترزاقی، مدل تحکیم سه بعدی در شرایط اشباع توسط بایوت (Biot, 1941) ارائه شد.^(۱۴)

مورد آزمایش و کمی نسبی نفوذپذیری از روش بار ثابت استفاده گردید. بدین منظور با توجه به منحنی های تراکم ترسیم شده برای هر یک از خاکهای نمونه های خاک در استوانه ای فولادی با قطر ۳۳ میلی متر و ارتفاع ۷۱ میلی متر با دوروش تراکم استاتیکی و دینامیکی در رطوبت ثابت بهینه و برای تراکم نسبی ۱۰۰، ۹۵، ۹۰ و ۱۰۵ درصد تهیه گردید. همچنین نمونه های نیز در تراکم نسبی ثابت ۱۰۰ درصد و رطوبتهای مختلف با استفاده از دو روش تراکم مذکور تهیه شدند. تفاوت اصلی روش تهیه نمونه های بازسازی شده این است که در روش تراکم دینامیکی، خاک در داخل قالب با استفاده از ضربات چکش تراکم گردید. در حالیکه در روش تراکم استاتیکی برای تهیه نمونه های از فشار جک هیدرولیکی استفاده گردید. سپس آزمایش نفوذپذیری با روش بار هیدرولیکی ثابت بر روی کلیه نمونه های انجام گرفت. به منظور انجام آزمایشهای تحکیم از دستگاه تحکیم معمولی استفاده شد. در این قسمت از آزمایش های نیز روش تهیه نمونه های همانند روش توضیع داده شده در بالا بود با این تفاوت که نمونه های در داخل حلقه تحکیم بقطر ۷ و ارتفاع ۹۸ cm / ۱ متر اکم شدند. پس از تهیه نمونه های حلقه های تحکیم در دستگاه قرار داده شده و بر اساس استاندارد ASTM مورد آزمایش تحکیم قرار گرفتند. پس از انجام آزمایشهای بر اساس نتایج ضربی حاصله ضربی تحکیم (Cv) و نمایه فشردگی (Cc) برای کلیه نمونه های تعیین گردید. به منظور تعیین ضربی تحکیم از روش کاساگراند، یعنی رسم منحنی تغییرات نشت در مقیاس نیمه لگاریتمی استفاده شد. سپس ضربی تحکیم بر اساس رابطه (۱) تعیین گردید:

$$Cv = \frac{0.197 d^2}{t_{50}}$$

که در آن:

d = طول مسافت زهکشی شده



شکل ۱- منحنی های دانه بندی خاکهای مورد مطالعه

ذرات جامد، دانه بندی و حدود آتر برگ بر اساس استانداردهای ASTM انجام گردید. پس از انجام آزمایشهای شناسایی برای هر یک از نمونه های منحنی تراکم با استفاده از روش تراکم دینامیکی استاندارد پراکتور تهیه شد. شکل ۱ منحنی های دانه بندی سه نوع خاک مورد بررسی و جدول ۱ نتایج آزمایشهای شناسایی نمونه های مورد آزمایش را نشان می دهد.

برای سنجش ضربی آبگذری خاک (K) روش های مختلفی پیشنهاد شده است. گرچه هیچ یک از این روشها مقدار دقیق K را بدست نمی دهد. ولی با انتخاب روشی که مناسب با نوع و شرایط خاک باشد می توان مقدار آن را با دقت قابل قبولی برای کارهای عملی تعیین کرد. در این پژوهش برای اندازه گیری ضربی نفوذپذیری از آزمایش نفوذپذیری بار ثابت استفاده شد. همانطور که ذکر شد به علت اثر شرایط مختلف آزمایش نفوذپذیری بر نتایج حاصله (از جمله متغیر بودن شبیه هیدرولیکی)، در این تحقیق با توجه به بافت ریز نمونه های

جدول ۱- نتایج آزمایشهای شناسایی خاکهای مورد مطالعه

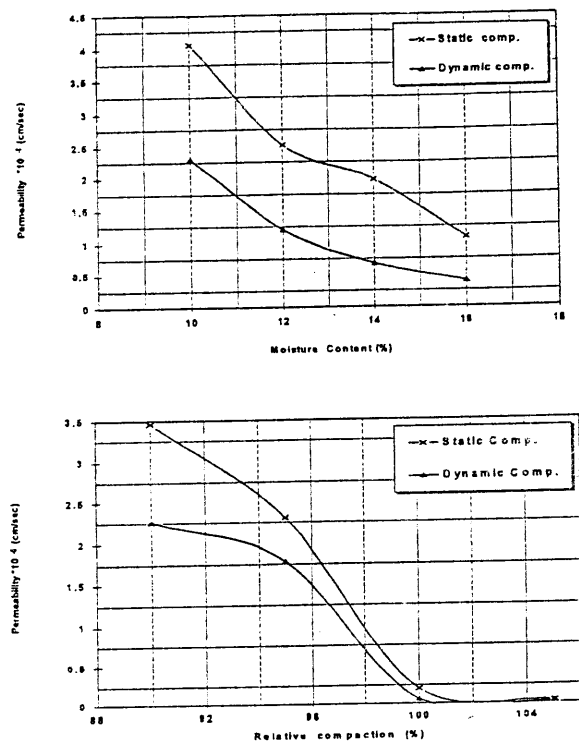
بافت خاک	چگالی	حد	نمایه	حد	وزن واحد	حد	روانی	ذرات
		(%)	(%)	(%)	gr/cm ³	(%)	بهینه	خمری
		۱۲/۹	۱/۸۷۵	۱۶/۱۵	۴/۶۲	۲۴	۲/۶۹	CL-ML
		۲۲	۱/۶۰۴	۱۷/۱	۱۹/۸۸	۴۳	۲/۶۷	CL
		۲۵	۱/۵۱	۱۸/۵	۳۵	۶۳	۲/۶۶	CH

۵۰= زمان رسیدن به ۵ درصد تحریک

برای تعیین ضریب Cc نیز روش پیشنهادی ترزاچی مورد استفاده قرار گرفت که در آن تغییرات نسبت تخلخل (e) در مقابل تغییرات لگاریتم فشار ترسیم و ضریب Cc از رابطه زیر محاسبه گردید:

$$C_c = \frac{\Delta e}{\log(P_2/P_1)}$$

که در این رابطه Δe تفاضل نسبت تخلخل های $e_2 - e_1$ در فشارهای متاظر P_2 و P_1 می باشد.



شکل ۲ - تغییرات نفوذپذیری خاک (CL-ML) (الف) - در مقابل درصد رطوبت ب - در مقابل تراکم نسبی نمونه های بازسازی شده با دو روش تراکم استاتیکی و دینامیکی

بنابراین عبور آب از فضای بین کلوخه ها مشکل بوده و نهایتاً میزان نفوذپذیری خاک کاهش می یابد (۱۰). همچنین شکل (۲) نشان می دهد که نمونه های بازسازی شده به روش تراکم استاتیکی نسبت به نمونه های بازسازی شده به روش تراکم دینامیکی از نفوذپذیری بیشتری برخوردار است. علت این امر آنست که روش تراکم استاتیکی ساختمان فلوکوله تری را در نمونه های بازسازی شده ایجاد می کند در حالیکه روش تراکم دینامیکی به ذرات خاک آرایش موازی می بخشند (۶). در ساختمان فلوکوله بدلیل اینکه ذرات خاک تقریباً به به لبه بایکدیگر تماس دارند، نسبت به ساختمان موازی که ذرات خاک وجه به وجه در تماس با هم می باشند، مقدار خلل و فرج بزرگ بیشتر بوده و بنابراین در ساختمان فلوکوله نفوذپذیری بیشتری مورد انتظار است.

به منظور انجام مقایسه منطقی بین اثر روش تراکم استاتیکی و دینامیکی بر مقدار نفوذپذیری از آزمون استقل دو طرفه استفاده شد. این آزمون نشان داد که بین دو روش مذکور در سطح ۵ درصد

نتایج و بحث :

الف - نفوذپذیری

نتایج آزمایش های نفوذپذیری انجام شده برای نمونه های بازسازی شده خاک CL-ML در شکل (۲) نشان داده شده است. بدلیل نفوذپذیری بسیار کم نمونه های بازسازی شده خاک های CL و CH در تراکم های نسبی بالاتر از ۹۵ % و تحت شرایط مورد استفاده در این تحقیق، در تعیین نفوذپذیری خاک های مذکور موقتی حاصل نشد. نمونه های بازسازی شده خاک CL در تراکم نسبی ۹۵ % تحت فشار ۶۰ psi به مدت ۱۵ روز اشباع نگردیدند.

همانطور که شکل (۲) نشان می دهد، برای یک رطوبت ثابت با افزایش درصد تراکم نسبی مقدار نفوذپذیری خاک کاهش یافته و این کاهش در حوالی تراکم ۱۰۰ درصد خیلی بیشتر است. با افزایش تراکم نسبی، آرایش ذرات خاک موازی تر شده و در نتیجه تعداد مجاري بزرگ انتقال آب در آن کاهش یافته و منافذی با سطح مقطع بسیار کوچک بوجود می آید (۲). از آنجاکه نفوذپذیری ارتباط مستقیم با سطح مقطع مجاري داخل خاک دارد، بنابراین مقدار آن کاهش می یابد. علاوه بر این چون با افزایش تراکم نسبی در یک رطوبت ثابت نسبت تخلخل نیز کاهش می یابد و نفوذپذیری با نسبت $\frac{e^n}{1+e}$ ارتباط دارد بنابراین مقدار آن بشدت کاهش می یابد (۳).

شکل ۲ نشان می دهد که در یک تراکم نسبی ثابت با افزایش درصد رطوبت مقدار نفوذپذیری نمونه کاهش یافته و این کاهش در حوالی رطوبت بهینه خیلی شدیدتر است. بر اساس نظریه Clod model کلوخه های رسی، وقتی که نمونه ها در ناحیه خشک رطوبت بهینه تراکم می شوند سخت بوده و زمانیکه نمونه ها در ناحیه تر رطوبت بهینه تراکم می گردند، نرم هستند. همچنین در ناحیه تر رطوبت بهینه فضای بین کلوخه ای به حداقل مقدار خود می رسد.

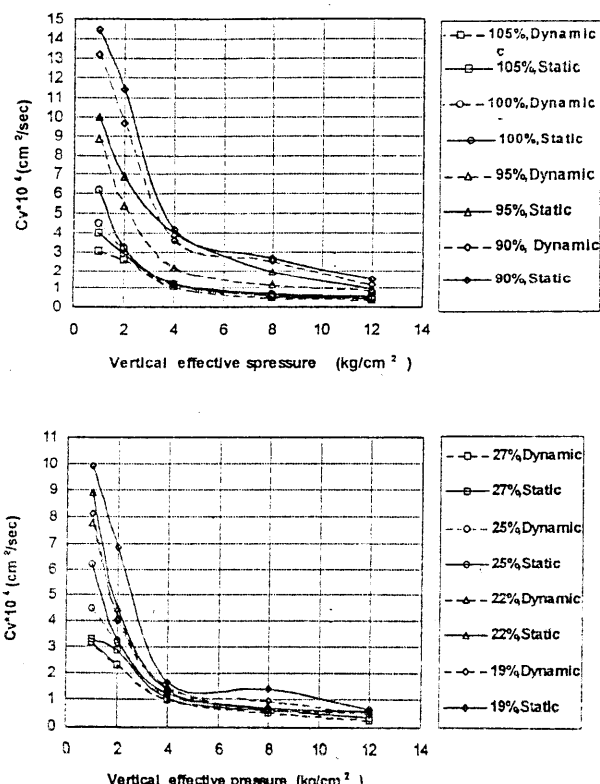
کاهش می‌یابد.

علیرغم آنکه تراکم استاتیکی به ساختمان خاک آرایش

فلوکوله می‌بخشد و نفوذپذیری آن را زیادتر می‌نماید و در این سری از آزمایش‌های بازسازی شده به روش تراکم استاتیکی نسبت به نمونه‌های بازسازی شده به روش تراکم دینامیکی مقدار ضربی تحکیم بزرگتری را نشان می‌دهند ولی اختلاف آنها از نقطه نظر آماری حتی در سطح ۵ درصد نیز معنی دار نمی‌باشد.

شکل شماره ۳ تغییرات ضربی تحکیم در مقابل تراکم نسبی و درصد رطوبت در فشارهای تحکیم ۱ تا ۱۲ کیلوگرم بر سانتی متر مربع را برای نمونه‌های بازسازی شده به دو روش تراکم استاتیکی و دینامیکی برای یکی از خاکهای مورد مطالعه نشان می‌دهد.

ارتباط نمایه شریدگی با تراکم نسبی، درصد رطوبت و روش تراکم مقادیر نمایه فشردگی (CC) حاصل از آزمایش‌های تحکیم بر روی نمونه‌های بازسازی شده به دو روش تراکم استاتیکی و دینامیکی در رطوبتها و تراکم‌های نسبی مختلف و رطوبتها متفاوت با دو روش آزمایش در جدول ۸ درج گردیده است.



شکل ۳ - تغییرات ضربی تحکیم نمونه (CH)، الف - در مقابل تراکم نسبی، ب - در مقابل رطوبت

اختلاف معنی‌دار وجود داشته و نتایج بدست آمده در این تحقیق با نتایج ارائه شده در تحقیقات قبلی مطابقت دارد.

ب - نشت پذیری

با انجام آزمایش‌های تحکیم بر روی نمونه‌هایی که با روش‌های تراکم استاتیکی و دینامیکی در رطوبتها و تراکم‌های نسبی مختلفی بازسازی شده‌اند تغییرات ضربی تحکیم (CC) و نمایه فشردگی (CC) در مقابل تغییرات تراکم نسبی، درصد رطوبت و نیز روش تراکم مورد بررسی قرار گرفت که نتایج حاصله ذیلاً تشریح می‌گردد.

ارتباط ضربی تحکیم (CC) با تراکم نسبی، درصد رطوبت و روش تراکم جدولهای ۲ تا ۷ مقادیر ضربی تحکیم نمونه‌های بازسازی شده را در تراکم‌های نسبی مختلف و رطوبتها متفاوت با دو روش تراکم استاتیکی و دینامیکی نشان می‌دهند.

ارقام مندرج در این جدولها بیانگر آنست که با افزایش تراکم نسبی، مقدار ضربی تحکیم کاهش می‌یابد و این کاهش با افزایش حد روانی خاک بیشتر می‌شود. علاوه بر این، برای یک تراکم نسبی ثابت نیز با افزایش حد روانی خاک مقدار ضربی تحکیم کاهش می‌یابد. دلیل این امر آن است که با افزایش تراکم نسبی خاک و همچنین حد روانی آن، مقدار نفوذ پذیری کاهش می‌یابد و چون ضربی تحکیم ارتباط مستقیم با مقدار نفوذ پذیری خاک دارد، بنابراین تغییرات آن همانند نفوذپذیری است. برای یک تراکم نسبی ثابت و روش تراکم خاص، با افزایش فشار تحکیم مقدار ضربی تحکیم کاهش می‌یابد و این کاهش با افزایش حد روانی خاک قبل ملاحظه تر است. علت این پدیده آنست که با افزایش فشار تحکیم، نسبت تخلخل خاک و در نتیجه نفوذپذیری آن کاهش یافته و بنابراین ضربی تحکیم کاهش می‌یابد. نتیجه دیگری که می‌توان از تحلیل ارقام مندرج در این جدولها به دست آورد این است که با افزایش درصد رطوبت نمونه‌های بازسازی شده، مقدار ضربی تحکیم کاهش می‌یابد. ولی این تغییرات خیلی کمتر از تغییرات در مقابل مقدار تراکم نسبی می‌باشد. علت کاهش ضربی تحکیم در حالت اخیر این است که با افزایش درصد رطوبت نمونه در یک تراکم نسبی ثابت ذرات خاک آرایش موازی تری را کسب می‌کنند. بنابراین نه تنها سرعت تحلیل فشار آب منفذی کاهش یافته و زمان رسیدن به صدرصد تحکیم افزایش می‌یابد بلکه مقدار نفوذپذیری خاک نیز کاهش پیدا می‌کند و لذا مقدار ضربی تحکیم که ارتباط مستقیم با نفوذپذیری دارد

جدول ۲ - تغییرات ضربت تهییم ($CL \times ML \times 10^3 \text{ cm}^2/\text{s}$) در مقابل تراکم نسبی (موده نهاده)

نرخ نسبی (%)		نرخ نسبی (%)		نرخ نسبی (%)	
نرخ نسبی (%)		نرخ نسبی (%)		نرخ نسبی (%)	
نرخ نسبی (%)					
۱۰۰	۹۵	۱۰۰	۹۵	۱۰۰	۹۰
استانیکی	دینامیکی	استانیکی	دینامیکی	استانیکی	دینامیکی
۱/۱۹	۱/۲۴۸	۱/۲۱۸	۱/۵۴۳	۱/۶۱	۱/۹۰۲
۰/۹۶۴	۱/۱۳۳	۱/۱۴۳	۱/۳۶۴	۱/۲۷۴	۱/۴۸۳
۰/۳۶۹	۰/۴۷۴	۰/۵۴۳	۰/۸۷۱	۱/۰۴۱	۱/۲۱۳
۰/۲۰۷	۰/۲۶۰۲	۰/۲۲۷	۰/۳۹۴	۰/۴۷۵	۰/۶۴۷
۰/۱۵۸	۰/۱۹۸	۰/۲۲۲	۰/۲۸۴	۰/۳۹۳	۰/۴۱۶
				۰/۵۶۱	۰/۶۸۸
				۰/۴۱۶	۰/۶۸۸
				۰/۴۱۶	۰/۶۸۸

جدول ۳ - تغییرات ضربت تهییم ($CL \times ML \times 10^3 \text{ cm}^2/\text{s}$) در مقابل درصد رطوبت (موده نهاده)

درصد رطوبت		درصد رطوبت		درصد رطوبت	
درصد رطوبت		درصد رطوبت		درصد رطوبت	
درصد رطوبت					
۱۳/۹	۱۲	۱۳/۹	۱۲	۱۳/۹	۱۰
استانیکی	دینامیکی	استانیکی	دینامیکی	استانیکی	دینامیکی
۱/۰۳۴	۱/۳۲۴	۱/۲۱۸	۱/۵۴۳	۱/۶۵۳	۱/۱۲۲
۰/۹۷۳	۰/۹۸۴	۱/۱۴۳	۱/۳۶۴	۱/۲۵۴	۱/۵۳۲
۰/۴۳۴	۰/۶۵۸	۰/۸۷۱	۰/۵۴۳	۰/۵۱۳	۰/۶۳۷
۰/۱۷۳	۰/۲۳۸	۰/۲۲۷	۰/۳۹۴	۰/۴۵	۰/۵۲۵
۰/۱۶۴	۰/۱۹۱	۰/۲۲۳	۰/۲۸۴	۰/۲۴۳	۰/۳۲۶
				۰/۲۴۳	۰/۳۲۶
				۰/۲۴۳	۰/۳۲۶
				۰/۲۴۳	۰/۳۲۶

رجیمی: مقایسه مقادیر نفوذپذیری و نشت پذیری خاکهای...

جدول ۴ - تغییرات ضرب تحریک $(CL \times 10^4 \text{ cm}^2/\text{s})$ در مقابل تراکم نسبی (نموده (CL))

نحوه (CL)		نحوه (CL)		نحوه (CL)		نحوه (CL)	
۱۰۵		۱۰۰		۹۵		۹۰	
دینامیکی	استانیکی	دینامیکی	استانیکی	دینامیکی	استانیکی	دینامیکی	استانیکی
۴/۱۰۲	۷/۰۷۵	۶/۳۷۵	۱۰/۱۴۹	۱۲/۵۴	۱۲/۴۶	۱۵/۵۱	۱۷/۴۳
۳/۴۷۵	۵/۹۷	۴/۸۶۴	۷/۱۴۵	۷/۹۵۷	۸/۴۲۷	۱۰/۱۱۲	۱۱/۱۸۱
۲/۱۲۷	۳/۰۲۲	۲/۷۵۳	۴/۳۴۲	۴/۶۴۹	۵/۳۱۶	۶/۴۵	۷/۰۲۳
۰/۹۶۳	۱/۱۷۵	۱/۴۹	۲/۳۴۲	۲/۴۳۴	۲/۴۲۷	۳/۵۵	۴/۰۱۶
۰/۷۲۵	۰/۹۸۱	۰/۸۶۱	۱/۳۲۷	۱/۱۰۶	۱/۷۵۶	۱/۷۳۲	۲/۱۵۲

جدول ۵ - تغییرات ضرب تحریک $(CL \times 10^4 \text{ cm}^2/\text{s})$ در مقابل درصد رطوبت (نموده (CL))

نحوه (CL)		نحوه (CL)		نحوه (CL)		نحوه (CL)	
۲۴		۲۱		۱۹		۱۶/۵	
دینامیکی	استانیکی	دینامیکی	استانیکی	دینامیکی	استانیکی	دینامیکی	استانیکی
۳/۳۵۸	۶/۲۹۶	۶/۳۷۵	۱۰/۱۴۹	۹/۱۱۵	۱۲/۱۷	۱۰/۵۴	۱۵/۰۰۲
۱/۸۳۴	۱/۸۸	۴/۸۶۴	۷/۱۴۵	۷/۱۴۹	۵/۶۶۷	۱/۶۴۲	۹/۸۹۸
۱/۵۲۸	۱/۷۲۹	۲/۷۵۳	۴/۳۴۲	۴/۳۲	۴/۴۲	۴/۶۴۴	۵/۶۴۸
۱/۴۷۲	۱/۹۳۴	۱/۴۹	۲/۳۴۲	۲/۴۲	۲/۷۱	۲/۵۵۷	۳/۱۲۷
۰/۸۸۶	۱/۲۷۷	۰/۸۶۱	۱/۳۲۷	۱/۵۲	۱/۷۶۲	۱/۰۱۷	۲/۱۹

جدول ۶ - تغییرات ضرب تحریکی ($\text{CH} \times 10^4 \text{ cm}^2/\text{s}$) در مقابل تراکم نسبی (نمونه)

فشار		تراکم نسبی (%)		تراکم نسبی (%)		تراکم نسبی (%)	
		۱۰۰	۹۵	۹۰	۹۰	۹۰	(kg/cm ²)
دینامیکی	استاتیکی	دینامیکی	استاتیکی	دینامیکی	استاتیکی	دینامیکی	۱۴/۴۲۳
۲/۰۷۵	۳/۹۸۸	۴/۴۸۸	۱/۱۸۸	۸/۸۶۵	۱۰	۱۲/۲۱	۱
۱/۶۴۵	۲/۹۴۳	۳/۱۹۷	۲/۲۸۲	۵/۲۷۱	۶/۹	۹/۶۸۵	۱۱/۴۵
۱/۰۷۱	۱/۱۷۳	۱/۱۵۹	۱/۲۲۹	۲/۱۸۴	۳/۹۹۶	۳/۶۳۶	۴/۲۲۱
۰/۴۷۸	۰/۵۱۲	۰/۶۴۴۷	۰/۶۹	۱/۱۸۴	۱/۹۶۱	۲/۵۸۲	۲/۷۷۸
۰/۳۶۷	۰/۴۲۸	۰/۴۷۷	۰/۵۶۱	۰/۸۷۳	۰/۹۶۶	۱/۱۹۹	۱/۵۲۱

جدول ۷ - تغییرات ضرب تحریکی ($\text{CH} \times 10^4 \text{ cm}^2/\text{s}$) در مقابل درصد رطوبت (نمونه)

فشار		درصد رطوبت		درصد رطوبت		درصد رطوبت	
		۲۲	۱۹	۱۶/۵	۱۶/۵	۱۶/۵	(kg/cm ²)
دینامیکی	استاتیکی	دینامیکی	استاتیکی	دینامیکی	استاتیکی	دینامیکی	۹/۴۶۳
۳/۱۹۲	۲/۳۱۹	۴/۴۸۸	۶/۱۸۸	۷/۷۵۵	۸/۹۲۶	۸/۱۲	۱
-	۲/۲۹۲	۲/۹	۳/۱۹۷	۴/۲۸۲	۴/۱۲۹	۴/۰۱۵	۶/۸۶۹
۰/۹۸۳	۱/۰۵۷	۱/۱۵۹	۱/۲۲۹	۱/۴۸۲	۱/۲۵۱	۱/۴۲۲	۱/۶۶۵
۰/۵۲۲	۰/۶۶۳	۰/۶۴۴۷	۰/۶۹	۰/۶۸۶	۰/۷۰۲	۰/۹۶	۱/۲۸۸
۰/۲۶	۰/۳۲۳	۰/۴۷۷	۰/۵۶۱	۰/۵۶۲	۰/۵۹۸	۰/۵۱۶	۰/۶۴۴

جدول ۸- مقادیر نمایه فشردگی در تراکم‌های نسبی و رطوبتهای متفاوت برای دو روش تراکم استاتیکی و دینامیکی

نمونه خاک	تراکم	نسبی (%)	نمایه فشردگی	تراکم استاتیکی	تراکم دینامیکی	درصد	نمایه فشردگی	تراکم استاتیکی	تراکم دینامیکی	نمایه فشردگی	درصد	نمایه فشردگی	تراکم استاتیکی	تراکم دینامیکی	نمایه فشردگی	
سیلت- رسی	۹۰		۰/۱۲۹	۰/۱۲۰۷	۰/۰۸۱۷	۱۰	۰/۱۲۰۷	۰/۱۲۹	۰/۰۷۹۶	۰/۰۷۳	۰/۰۶۷	۱۲	۰/۰۷۹۶	۰/۰۷۳	۰/۰۶۷	۰/۰۷۹۶
	۹۵	CL-ML	۰/۰۸۹۹	۰/۰۷۹۶	۰/۰۷۱	۱۲/۹	۰/۰۷۱	۰/۰۶۶	۰/۰۷۱	۰/۰۶۶	۰/۰۶۶	۱۳/۹	۰/۰۶۶	۰/۰۷۱	۰/۰۶۶	۰/۰۷۱
	۱۰۰		۰/۰۶	۰/۰۴۴	۰/۰۶۵	۱۶	۰/۰۶	۰/۰۴۴	۰/۰۶۵	۰/۰۶۲	۰/۰۶۲					
	۱۰۵															
رس با	۹۰		۰/۲۲	۰/۲۱۳	۰/۲۰۹	۱۶	۰/۲۲	۰/۲۱۳	۰/۱۸	۰/۱۹۵	۰/۲۰۱	۱۹	۰/۲۱۱	۰/۲۰۱	۰/۱۸	۰/۲۰۱
	۹۵	خميرابي	۰/۱۸۸	۰/۱۶۵	۰/۱۸۸	۲۲	۰/۱۸۸	۰/۱۶۵	۰/۱۶۵	۰/۱۵۸	۰/۱۵۸	۲۴	۰/۱۷۳	۰/۱۲۵	۰/۱۶۵	۰/۱۸۸
	۱۰۰	CL	۰/۳۱۵	۰/۳۰۵	۰/۲۹۹	۱۹	۰/۳۱۵	۰/۳۰۵	۰/۲۹۷	۰/۲۷۸	۰/۲۹۷	۲۲	۰/۲۸	۰/۲۶۴	۰/۲۷۸	۰/۲۹۷
	۱۰۵	ZiadCH	۰/۲۶۱	۰/۲۴۷	۰/۲۴۵	۲۵	۰/۲۶۱	۰/۲۴۷	۰/۲۴۷	۰/۲۳۸	۰/۲۳۸	۲۷	۰/۲۱۱	۰/۲۱۳۷	۰/۲۴۵	۰/۲۳۸

موازی، نشت پذیری و در نتیجه CC افزایش می‌باید. هر چند که نمونه‌های بازسازی شده به روش تراکم استاتیکی از آنها یکه به روش تراکم دینامیکی متراکم شده‌اند بدلیل داشتن ساختمان فلوکوله‌تر، نشت پذیری بیشتری از خود نشان دادند ولی این اختلاف از نقطه نظر آماری که با استفاده از آزمون t مستقل دو طرفه کنترل شد حتی در سطح ۵ درصد معنی دارنبوده است.

بطور خلاصه بر اساس مجموع نتایج بدست آمده از این تحقیق، از آنجاکه دو روش تراکم استاتیکی و دینامیکی بترتیب در خاک ساختمان فلوکوله و موازی ایجاد نموده و همین امر موجب می‌گردد تا نفوذ پذیری و نشت پذیری خاک حاصل از این دو روش تراکم متفاوت باشد. بر اساس این نتایج تراکم استاتیکی خاک موجب افزایش نفوذ پذیری نسبت به تراکم دینامیکی گردیده و علاوه موجب بیشتر شدن تحکیم پذیری خاک نیز می‌گردد.

سپاسگزاری

نظر به اینکه امکانات مالی و تجهیزاتی این طرح توسط معاونت پژوهشی دانشگاه تهران و مؤسسه تحقیقات فنی مهندسی کشاورزی فراهمن گردیده است، لذا اینجانب مراتب تقدیر و تشکر خود را از دو مؤسسه مذکور اعلام می‌دارم.

همانگونه که از ارقام مندرج در جدول ۸ مشهود است با افزایش تراکم نسبی نمونه‌ها، نمایه فشردگی کاهش می‌باید. علت این است که با افزایش تراکم نسبی نمونه نه تنها نسبت تخلخل آن کم می‌شود بلکه تغییرات نسبت تخلخل در اثر تغییرات فشار نیز دچار کاهش می‌گردد. با افزایش حد روانی بدلیل آنکه مقدار آب جذب شده در اطراف ذرات بیشتر می‌باشد، بنابراین نمایه فشردگی (CC) او پتانسیل نشت پذیری افزایش می‌باید.

ارقام مندرج در جدول ۸ نشان می‌دهند که در یک تراکم نسبی ثابت با افزایش رطوبت نمونه‌های بازسازی شده مقدار CC کاهش می‌باید. علت این امر آن است که با افزایش درصد رطوبت نمونه پتانسیل جذب آب آن پس از قرار گرفتن در دستگاه تحکیم و اشباع آن کاهش می‌باید، بنابراین نمونه کمتر تورم پیدا نموده و در نتیجه آرایش اولیه ساختمان آن تا حدودی ثابت باقی می‌ماند. بنابراین در اثر اعمال سربار، نشت پذیری کمتری از خود نشان می‌دهد. علاوه بر این، همانگونه که قبل اشاره شد، با توجه به اینکه با افزایش رطوبت نمونه ذرات خاک آرایش موازی تر به خود می‌گیرند، لذا با افزایش فشار تحکیم، نشت پذیری کمتری نشان می‌دهند. از آتجائیکه در رطوبتهای کمتر از بهینه ساختمان خاک فلوکوله‌تر است، لذا با افزایش فشار و حرکت ذرات بر روی یکدیگر و تمایل به سمت آرایش

REFERENCES

1. Bowles, J. E. 1979. Physical and Geotechnical Properties of Soils. McGraw-Hill, INC, USA, 478. pp.
2. Boynton, S. S., and D. E. Daniel. 1985. Hydraulic Conductivity Test on Compacted Clay. Journal of Geotechnical Eng. ASCE Vol .11, No. 4, PP.465-478.
3. Das, B. M. 1990. Principles of Geotechnical Engineering. McGraw-Hill International Editions.
4. Ingles, O. G. and H. L. Williams. 1956. Engineering Characteristic of Expansive Clays. Trans. ASCE.
5. Kabir, M. G., and A. J. Lutenegger. 1990. In Situ Estimation of the Coefficient of Consolidation in Clays. Canadian Geotechnical Journal. Vol.27, pp.58-67.
6. Lambe, T. W. 1998a. The Engineering Behavior of Compacted Clay. Journal of the Soil Mechanic and Foundation Division, ASCE, Vol.84, No. 2M2. pp.1654-1 to 1654-34.
7. Lambe, T. W. 1958b. The Engineering Behavior of Compacted Clay. Journal of the soil Mechanic and Foundauion Division, ASCE, Vol.84, No.2M2, pp.1654-1to 1654-35.
8. Manfred, R. H. 1990. Engineering Principles of Ground Modification. McGraw-Hill Book Company, pp.12-80.
9. Michaels, A. S., and C. S. Lin 1954. The Permeability of Kaolinite. Industrial and Engineering Chemistry, Vol.46, pp.1239-1246.
10. Mitchell, J. K., D. R. Hooper., and R. G. Campanella.1965. Permeability of Compacted Clay.Journal of the soil Mechanic and Foundation Division. ASCE, Vol. 91, No. SM4, pp.41-65.
11. Mitchell, J. K., and J. S. Younger. 1976. Abnormalities in Hydraulic Flow Through Fine-Grained Soil. ASTM Special Technical Publication No. 417. Philadelphia, Pa., pp. 106-139.
12. Olson, R. E., and D. E. Daniel.1981. Measurement of the Hydraulic Conductivityof Fine-Grained Soils. ASTM Special Technical Publication, No.746, Philadelphia, pa., pp.18-64.
13. Punmia, B. C. 1992. Soil Mechanic and Foundation. Laxmi Publications, New Delhi.
14. Tekinsoy, M. A., and T. Haktanir, 1990. One-Dimensional Consolidation of Unsaturation Fine-Grained Soils. Journal of Geotechnical Engineering, Vol. 116, No.5, pp.838-850.
15. Zimmie, T. F. 1981. Geotechnical Testing Consideration of Laboratory Permeability for Hazardous Waste Disposal Sitting. ASTM Special Technical Publication No.760. Philadelphia, Pa. pp.293-304.

**Comparison of Permeability and Consolidation
Properties of Clayey Soils Compacted by
Dynamic and Static Methods**

H. RAHIMI AND R. GHOBADIAN

**Professor, and Former Graduate Student, Department of Irrigation Reclamation,
Faculty of Agriculture University of Tehran Karaj, Iran.**

Accepted April 22, 1999

SUMMARY

For evaluation of mechanical properties of soils in a proper manner, to be used for design purposes, it is vital that these parameters be determined through laboratory tests performed on compacted soil specimens, possessing similar conditions as the soil in the field. Normally, the remolded soil specimens in laboratory are made by using dynamic compaction method (compaction of the soil in the mold using hammer drops), while, in the field conditions, soil is compacted by sheep's foot rollers which apply static compaction. In the present research, to evaluate and compare the effects of each compaction type on permeability and consolidation properties of fine-grained soils, three soil samples of CL-ML, CL and CH classification were taken. All samples were compacted at different moisture contents and different relative densities using both dynamic as well static compactive efforts. Finally, the remolded specimens were tested for determination of permeability and consolidation properties. The results for the permeability tests indicated that statically compacted specimens are more permeable than the specimens compacted by dynamic method. By increasing moisture content and relative density, coefficient of permeability is reduced. According to the results of consolidation tests, by increasing liquid limit of the soil, coefficient of consolidation (C_v) is reduced and compressibility index (C_c) increased. Moreover, the specimens compacted by static method, had higher coefficient of consolidation and compression index compared to the dynamically compacted ones. Also, it was concluded that regardless of soil's physical properties, increasing moisture content and relative density, would reduce C_v and C_c of the specimens.

Keywords: Static compaction, Dynamic compaction, Consolidation, Permeability